

АВТОМАТИЧЕСКИЕ ЦИФРОВЫЕ ИЗМЕРИТЕЛЬНЫЕ УСТРОЙСТВА

УДК 681.142.621

В. А. БЕЛОМЕСТНЫХ, В. Н. ВЬЮХИН, А. Н. КАСПЕРОВИЧ,
Ю. А. ПОПОВ, В. И. ПРОКОПЕНКО, В. И. СОЛОНЕНКО*
(Новосибирск)

МНОГОТОЧЕЧНАЯ ИЗМЕРИТЕЛЬНАЯ СИСТЕМА С КОММУТАТОРОМ НА ПОЛЕВЫХ ТРАНЗИСТОРАХ

Многоточечные измерительные системы получили в настоящее время широкое распространение в связи с использованием ЦВМ для обработки и хранения результатов различных научных экспериментов. При этом на систему возлагается задача приема данных от датчиков, преобразования их в цифровую форму и выдачи кодов и служебных сигналов в ЦВМ.

Основными требованиями, предъявляемыми к элементам системы, являются высокое быстродействие и точность, что обусловлено необходимостью возможно более точного воспроизведения исследуемого процесса. Кроме того, общими являются требования надежности и простоты обслуживания. В настоящей статье излагаются вопросы рационального построения узлов многоточечной измерительной системы, предназначеннай для работы с потенциометрическими датчиками и выполненной на современной элементной базе.

Блок-схема этой системы (рис. 1) состоит из коммутатора (с блоком управления), буферного каскада (БК), аналого-цифрового преобразователя (АЦП), согласующего устройства (СУ) и блока индикации (БИ).

Коммутатор датчиков предназначен для поочередного подключения датчиков к входу АЦП. Одними из наиболее перспективных элементов

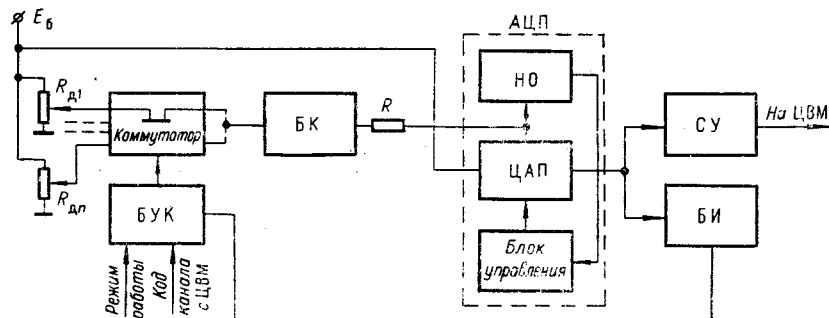


Рис. 1.

* Материал доложен на Всесоюзной конференции по автоматическому контролю в сентябре 1969 года в Новосибирске.

для использования в качестве ключей коммутаторов являются интегральные прерыватели типа ИП1, обладающие высокими метрологическими характеристиками. В настоящее время промышленностью осваивается выпуск полевых транзисторов, нашедших широкое применение в качестве ключей за рубежом [1, 2].

Ключи на полевых транзисторах (ПТ) по сравнению с ключами на биполярных транзисторах обладают двумя существенными преимуществами: 1) ввиду высокого входного сопротивления ПТ не требуется гальваническая развязка управляющего и коммутируемого сигналов; при этом отпадает необходимость в развязывающем трансформаторе или изолированном источнике питания ключа; 2) ключи на ПТ не имеют статической ошибки при передаче потенциала (параметр e_0 для ключей).

Управляющие потенциалы, подаваемые на затвор ПТ в режиме ключа, должны удовлетворять следующим соотношениям (для транзисторов с $p-n$ переходом с каналом p типа):

$$E_{\text{зап}} \gg U_0 + U_{\text{вх+}}; E_{\text{откр}} \leq U_{\text{вх-}}, \quad (1)$$

где $E_{\text{зап}}$ и $E_{\text{откр}}$ — соответственно потенциалы запирания и открывания ключа; U_0 — напряжение отсечки ПТ; $U_{\text{вх+}}$ и $U_{\text{вх-}}$ — верхний и нижний уровни коммутируемого сигнала.

При $U_{\text{вх}} = \pm 5 \text{ в}$ и $U_0 = 10$ в управляющие потенциалы должны быть следующими: $E_{\text{зап}} = +15 \text{ в}$ и $E_{\text{откр}} = -5 \text{ в}$. Следовательно, при построении цифровой части коммутатора на микросхемах с выходными уровнями 0 и +3 в для формирования сигналов управления ключом на ПТ требуется дополнительный инвертор. На рис. 2 изображена схема ячейки коммутатора, содержащая ключ на ПТ, инвертор и схему И на два входа, причем схема И является второй ступенью дешифратора. В этой схеме согласование потенциалов осуществляется стабилитроном D_3 ; конденсатор C_1 уменьшает время выхода из насыщения транзистора T_1 .

Для перевода ключевого ПТ в состояние «замкнуто» необходимо подать на его затвор потенциал, равный входному (т. е. потенциальному истоку). Плавающий потенциал затвора создается, как правило, с помощью диода (D_4 на рис. 2), изолирующего затвор ПТ от цепи

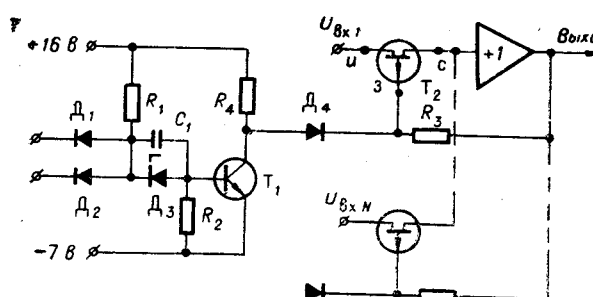


Рис. 2.

управления. При этом время полного включения ключа будет определяться временем перезаряда паразитной емкости затвора обратными токами изолирующего диода и затвора ПТ до напряжения, равного входному. Для ускорения перезаряда емкости затвора существует несколько способов [1, 2], наиболее радикальным из которых является присоединение, как показано на рис. 2, затворов ПТ через резистор R_3 к выходу буферного каскада, повторяющего выходной сигнал коммутатора. Экспериментальные исследования других схем управления затвором ПТ — с шунтированием диода конденсатором или с использованием в качестве диода D_4 FED-диода [1], аналогичного по приводимым параметрам варикапу, показали, что при этом имеет место взаимное влияние каналов.

На рис. 3, а приведена эквивалентная схема одноступенчатого коммутатора на ПТ, которая может быть использована для расчета статической погрешности коммутатора. Ключ на ПТ имеет следующие параметры эквивалентной схемы: R_0 — сопротивление ключа в состоянии «разомкнуто» (сопротивление обедненного канала и утечки ПТ); I_0 — половина тока затвора при обратном смещении. Полагая, что полный ток затвора $2I_0$ в симметричном ПТ распределяется поровну между сто-

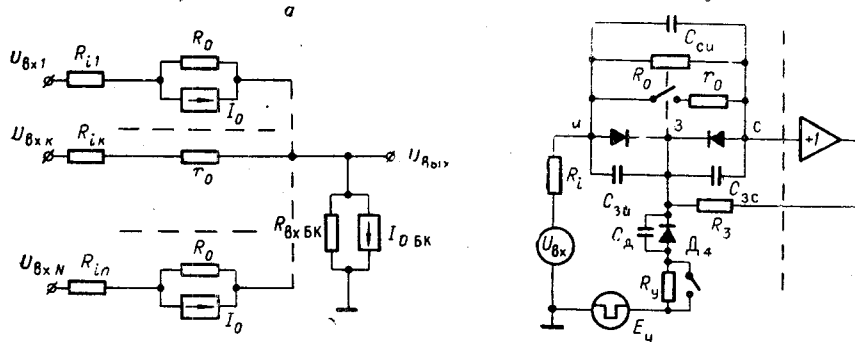


Рис. 3.

ком и истоком, получаем значение тока эквивалентного генератора I_0 ; r_0 — сопротивление ключа в состоянии «замкнуто»; $r_0 = 1/S_{\max}$, где S_{\max} — крутизна ПТ при $U_{\text{зи}} = 0$; $R_{\text{вх БК}}$ и $I_{\text{D БК}}$ — параметры эквивалентной схемы входной цепи буферного каскада. Пользуясь эквивалентной схемой рис. 3, а, определим абсолютные статические погрешности ΔU_I и ΔU_{II} одно- и двухступенчатого коммутатора на ПТ при выбранном k -м канале (при $R_{\text{вх БК}} \gg r_0 + R_{ik}$):

$$\Delta U_I = \left[\frac{r_0 + R_{ik}}{R_{\text{вх БК}}} U_k \right] + \left[\sum_{i=1}^{N-1} \frac{U_i}{R_0} + (N-1) I_0 \right] (r_0 + R_{ik}) + [I_{\text{D БК}} (r_0 + R_{ik})]; \quad (2)$$

$$\Delta U_{II} = \left[\frac{2 r_0 + R_{ik}}{R_{\text{вх БК}}} U_k \right] + \left[(N_1 - 1) I_0 + \sum_{i=1}^{N_1-1} \frac{U_i}{R_0} \right] (r_0 + R_{ik}) + \left[(N_2 - 1) I_0 + \sum_{j=1}^{N_2-1} \frac{U_j}{R_0} \right] (2 r_0 + R_{ik}) + [I_{\text{D БК}} (2 r_0 + R_{ik})], \quad (3)$$

где N_1 — число ключей 1-й ступени; N_2 — число ключей 2-й ступени коммутатора; $N = N_1 N_2$ — число каналов; R_{ik} — внутреннее сопротивление источника сигнала.

Из (2) и (3) видно, что мультипликативная составляющая погрешности коммутатора [первое слагаемое в (2) и (3)] определяется входным сопротивлением БК и имеет большее значение для двухступенчатого коммутатора. Аддитивная составляющая погрешности определяется паразитными токами закрытых ключей и БК и имеет большее значение в одноступенчатой схеме. Выбор конкретной схемы коммутатора с минимальной статической ошибкой зависит от числа каналов, параметров ПТ, БК и источника сигнала. Сравнительная сложность этих схем так-

же зависит от числа каналов: двухступенчатый коммутатор по сравнению с одноступенчатым имеет N_2 добавочных ключей, однако при этом 2-я ступень дешифрации управляющего кода отсутствует.

Из (2) и (3) определим статические погрешности ΔU_I и ΔU_{II} 64-канального коммутатора на ПТ типа ТН-1В, имеющих следующие определенные экспериментально типовые характеристики: $R_0 \geq 10^{10} \text{ ом}$; $r_0 \leq 1,5 \text{ ком}$; $I_0 = (2 \div 3) \text{ на}$; $U_0 \leq 10 \text{ в}$. При $R_{\text{вх БК}} = 100 \cdot 10^6 \text{ ом}$, $I_{0 \text{ БК}} < 100 \text{ на}$, $R_t = 1,5 \text{ ком}$, $U_t = 10 \text{ в}$, $N_1 = N_2 = 8$ имеем: $\Delta U_I = 0,003 \% U_x \pm 1,1 \text{ мв}$; $\Delta U_{II} = 0,0045 \% U_x \pm 0,74 \text{ мв}$.

Следует иметь в виду, что высокие качественные показатели ключа на ПТ в состоянии «разомкнуто» требуют тщательного монтажа коммутатора с целью исключения утечек по плате и деталям.

Скорость работы коммутатора определяется постоянной времени цепи затвора, постоянной времени перезаряда емкости выходной шины коммутатора от источника входного сигнала и временем затухания переходных процессов, связанных с проникновением управляющего сигнала на выход коммутатора. На рис. 3, б приведена эквивалентная схема одного ключа для расчета переходных процессов в коммутаторе. При подаче управляющего сигнала на включение канала изолирующий диод D_4 закрывается и емкость затвора перезаряжается до уровня входного сигнала с постоянной времени τ_s ($(R_s + R_i) C_s'$), где $C_s' = C_{\text{зи}} + C_{\text{sc}} + C_d$ — суммарная емкость затвора (см. рис. 3, б); C_d — паразитная емкость диода. При этом сопротивление канала ПТ будет изменяться по закону [4]

$$r'_0 = r_0 / \left(1 - \frac{U_s(t) - U_{\text{вх}}}{U_0} \right), \quad (4)$$

где $U_s(t)$ — напряжение на затворе.

Полагая, что сопротивление канала достигает своего установившегося значения r_0 за время, равное $(3 \div 4) \tau_s$, можно определить допустимое значение R_s :

$$R_s + R_i \leq \frac{\tau_s}{(3 \div 4) C_s'}, \quad (5)$$

где τ_s — допустимое время установления прямого сопротивления ключа. При этом от буферного каскада будет потребляться ток

$$I = \frac{E_k}{R_s} (N - 1), \quad (6)$$

где E_k — запирающее напряжение на затворе.

Скорость затухания переходных процессов на выходе коммутатора определяется постоянной времени выходной шины τ_b . При $\frac{R_y}{N} \ll R_t + r_0$

$$\tau_b = (r'_0 + R_i) C_{\text{вых}}, \quad (7)$$

где $C_{\text{вых}} = N C_c + C_{\text{вх}} + C_m$; C_c — емкость стока; $C_c = C_{\text{зс}} + C_{\text{сн}}$; $C_{\text{вх}}$ — входная емкость буферного каскада; C_m — емкость монтажа выходной шины коммутатора.

При $N=64$, $C_c=2,5 \text{ нФ}$, $C_{\text{вх}}=10 \text{ нФ}$, $C_m=20 \text{ нФ}$ и $(r'_0 + R_i)=3 \text{ ком}$ $\tau_b=0,57 \text{ мксек}$.

Двухступенчатая схема построения коммутатора уменьшает выходную емкость и в ряде случаев может оказаться более быстродействующей по сравнению с одноступенчатой схемой.

Следует отметить, что выражения (4) и (7) получены без учета проникновения фронтов управляющих импульсов в цепь затвора и на

выход коммутатора. Скорость затухания переходных процессов на выходе коммутатора от фронтов управляющих импульсов определяется постоянной времени выходной шины коммутатора τ_b . Из рис. 3, б видно, что амплитуда выброса из-за отрицательного фронта управляющего импульса ограничивается емкостью диода C_d , а из-за положительного фронта — емкостью затвора C_s . Поскольку при переключении каналов формируется одновременно положительный и отрицательный фронты управляющих импульсов на соседних каналах, то имеет место частичная компенсация выбросов на выходе коммутатора.

Экспериментальные исследования 64-канального коммутатора по одноступенчатой схеме на ПТ типа ТН-1Д показали, что паразитный ток на выходе коммутатора при нормальной температуре не более 100 нА, время установления выходного напряжения на уровне 3τ составляет примерно 1,5 мксек, длительность выбросов при нулевом входном сигнале 1—2 мксек, амплитуда выбросов 100—150 мВ.

Блок управления коммутатором (БУК) предназначен для формирования сигналов управления ключами коммутатора в различных режимах работы, а также для формирования сигнала «запуск АЦП» и сигнала совпадения кода номера канала, в котором производится измерение в данный момент времени, с кодом, набранным вручную. Последний сигнал нужен для индикации только выбранного канала при циклическом опросе всех каналов с высокой скоростью.

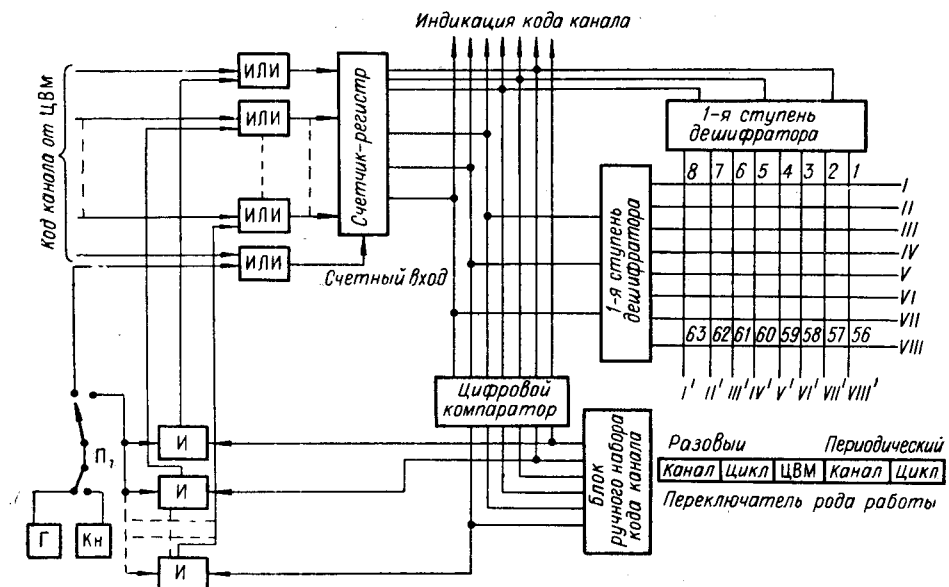


Рис. 4.

Упрощенная блок-схема БУК приведена на рис. 4. БУК обеспечивает пять режимов работы:

1. Программный выбор каналов по сигналам с ЦВМ. Сигналы с ЦВМ поступают в виде шестиразрядного двоичного кода номера канала и потенциала, разрешающего работать в этом режиме.
2. Периодический опрос одного из каналов, выбранного с помощью переключателей на передней панели, с частотой 10 и 2 кГц.
3. Циклический опрос всех каналов с частотой 10 и 2 кГц по сигналу с ЦВМ или с помощью переключателя на передней панели прибора.

4, 5. Последние два режима аналогичны второму и третьему, но осуществляются при разовом запуске от кнопки.

Коммутация режимов работы осуществляется переключателем Π_1 . Источником внутренних импульсов запуска служит генератор Γ , выдающий импульсы с частотой 10 и 2 кгц, и кнопка K_n для разового запуска.

Основным узлом БУК является шестиразрядный счетчик-регистр, выполненный на $j-k$ триггерах. При программном выборе каналов, а также при периодическом опросе одного выбранного канала счетчик-регистр запускается по раздельным входам (т. е. работает, как регистр), в остальных режимах счетчик-регистр запускается по счетному входу. К выходным шинам счетчика-регистра подключается дешифратор и цифровой компаратор. Дешифратор на 6 входов и 64 выхода выполнен по двухступенчатой схеме [3], в первой ступени которого используются цифровые микросхемы ДТЛ. Выходом первой ступени дешифратора служат 16 шин (I—VIII и I'—VIII'), поступающих на схемы И 2-й ступени дешифрации, которые размещены в ячейках коммутатора. Цифровой компаратор содержит 12 схем И, 12-входовую схему ИЛИ и выдает сигнал в блок индикации при совпадении кода в регистре-счетчике с кодом, набранным переключателями. По этому сигналу разрешается перепись кода результата измерения в регистра ЦАП в блок индикации. При этом на табло будет выводиться результат измерения лишь в выбранном канале.

Буферный каскад предназначен для согласования выхода коммутатора с входом цифро-аналогового преобразователя (ЦАП) и должен иметь высокую линейность и стабильность передаточной характеристики, высокое входное и малое выходное сопротивления, малый дрейф по напряжению и малое значение паразитного тока входной цепи.

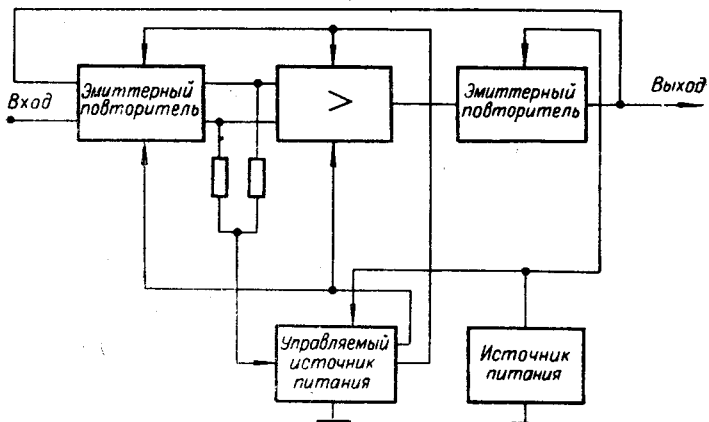


Рис. 5.

Для улучшения технических характеристик буферных каскадов в них вводят элемент сравнения. В [4] сравнение входного и выходного сигналов производится на 2 входах балансного усилителя. Для повышения $R_{\text{вх}}$ в [4] используется МОП-транзистор, а для повышения линейности — местные отрицательные обратные связи (ООС). Основные недостатки такого каскада вытекают из следующего противоречия. Большая погрешность коэффициента передачи (в упомянутом устройстве 2%) определяется недостаточным коэффициентом режекции и значительным дрейфом усилителя, выполненного на дискретных элементах. Использование элементов с малым дрейфом и достаточным коэффици-

ентом режекции, например микросхем типа П2222АГ, приводит к существенному сужению диапазона входных сигналов из-за низких рабочих напряжений микросхем. Известные устройства, кроме того, обладают низкой нагрузочной способностью и сравнительно высоким выходным сопротивлением, что существенно снижает их возможности.

В связи с этим была поставлена задача расширения диапазона входных сигналов, повышения точности коэффициента передачи и увеличения нагрузочной способности буферного каскада. В буферном каскаде, кроме общей отрицательной обратной связи, была применена прямая связь, действующая через цепи питания и охватывающая весь усилитель. Осуществление этих связей потребовало использования своеобразного управляемого источника питания (рис. 5). Управляемый источник питания выдает два напряжения, которые изменяются синхронно и пропорционально управляемому напряжению. При этом разность между ними (т. е. напряжение, которое прикладывается к усилителю) остается постоянной во всем диапазоне входных сигналов.

Эти средства позволяют расширить диапазон входных сигналов и повысить точность коэффициента передачи, а усилитель выполнить на низковольтных элементах, обладающих малым дрейфом. Для повышения входного сопротивления сигнала управления источником питания снимается с синфазного выхода первого каскада усилителя.

Принципиальная схема каскада приведена на рис. 6. С целью увеличения выходной мощности используется эмиттерный повторитель, на который напряжение питания подается от обычного источника. Для исключения погрешности из-за дрейфа эмиттерного повторителя напряжение ООС снимается с выхода повторителя.

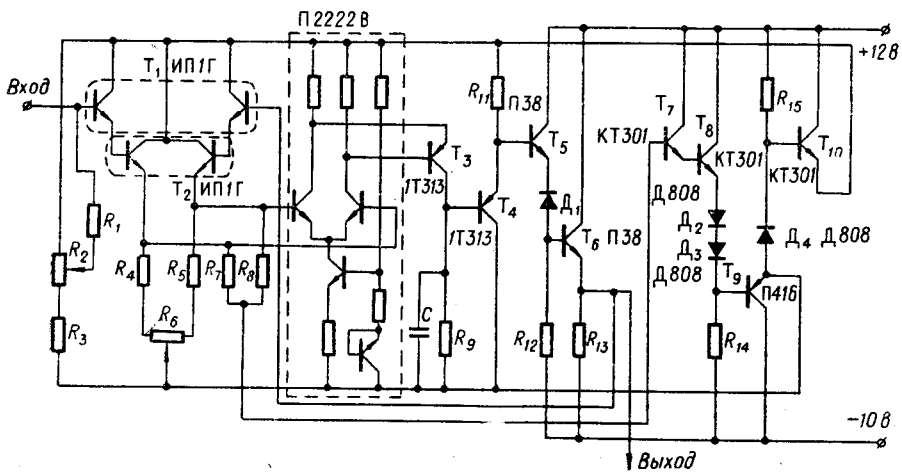


Рис. 6.

Выходное напряжение буферного каскада выражается соотношением

$$U_{\text{вых}} = U_{\text{вх}} K_1 + \delta_1 + U_{\text{n}} + [U_{\text{вх}} - (U_{\text{вх}} K_1 + \delta_1 + U_{\text{n}})] K_2 + \delta_2, \quad (8)$$

где $U_{\text{вх}}$ — входное напряжение; K_1 — коэффициент передачи управляемого источника питания; δ_1 — абсолютное значение напряжения смещения; U_{n} — одно из напряжений питания (напряжение смещения); K_2 — коэффициент усиления с учетом ООС; δ_2 — значение дрейфа усилителя по напряжению.

При этом абсолютная погрешность буферного каскада может быть записана в виде

$$\delta = (U_{\text{BX}} - U_{\text{BX}} K_1 - \delta_1 - U_{\text{B}}) (1 - K_2) - \delta_2. \quad (9)$$

Увеличивая K_{yc} усилителя, можно получить значение K_2 , достаточно близкое к единице; тогда $(1 - K_2) \approx 0$ и $\delta \approx -\delta_2$. Таким образом, абсолютная погрешность буферного каскада мало зависит от значения входного сигнала и стабильности коэффициента передачи управляемого источника питания.

Входное сопротивление буферного каскада может быть определено при $K_{yc} \gg 1$, $\frac{1}{1-K_{yc}} \gg 1$ следующим выражением:

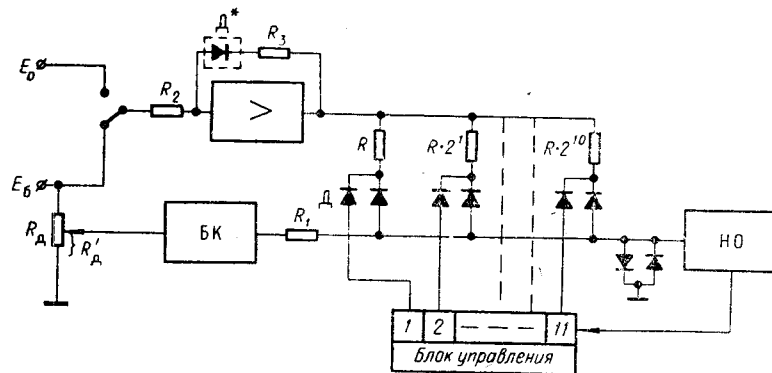
$$R_{\text{вх БК}} = \beta'_{\text{ИП}} R_{\text{в}} K_{yc} \frac{1}{1-K_1} \parallel [r_{\text{к}} \parallel R_1] \frac{1}{1-K_1}, \quad (10)$$

где β' — коэффициент усиления по току составного триода ИП1Г; R_h — сопротивление нагрузки входного эмиттерного повторителя; $R_h = R_4 \parallel (R_7 + R_8) \parallel R'_{bx}$; R'_{bx} — входное сопротивление 2-го каскада на микросхеме П2222Б; $R'_{bx} = 2h_{11s} = 2(r_6 + \beta r_9) \approx 3k$; r_k — сопротивление коллекторного перехода ИП1 в режиме малых токов; R_1 — сопротивление, компенсирующее начальный ток БК при $U_{bx} = 0$.

Усилитель и управляемый источник питания могут иметь различные варианты схемных решений в зависимости от предъявляемых к ним требований. Для диапазона входных сигналов от 0 до ± 5 в используется управляемый источник питания, схема которого приведена на рис. 6. Он выполнен на основе эмиттерных повторителей. Требуемые уровни питающих напряжений обеспечиваются стабилитронами D_2 , D_3 и D_4 . В усилителе с целью снижения дрейфа используется микросхема П2222В, а входной каскад выполнен на интегральном переключателе ИП1Г, включенном по схеме дифференциального повторителя.

Технические характеристики испытанного буферного каскада:
 1) входной ток 0,02 мка; 2) температурное изменение входного тока $0,1 \text{ мка}/10^\circ\text{C}$; 3) входное сопротивление в диапазоне входных сигналов от 0 до 8 в 100 Мом; 4) погрешность коэффициента передачи в диапазоне входных сигналов от 0 до 8 в 0,0025%; 5) дрейф нуля в диапазоне температур $(+20 \pm 40)^\circ\text{C}$ 50 мкв/1°C; 6) выходное сопротивление при нагрузке 1 ком на частоте 100 кгц 0,05 ом; 7) время установления выходного напряжения при скачкообразном изменении входного сигнала от 0 до +6 в 2 мксек, а время спада 5 мксек.

Аналого-цифровой преобразователь. Использование на выходе коммутатора буферного каскада с малым выходным сопротивлением позволяет



Puc. 7.

лило построить простой ЦАП с суммированием токов, обладающий достаточно высокими метрологическими характеристиками (рис. 7). Разрядные токи ЦАП формируются резисторами $2^0 R, 2^1 R, \dots, 2^{n-1} R$. Преобразование входного напряжения в ток осуществляется с помощью резистора R_1 . С целью исключения влияния дрейфа диодных ключей на разрядные токи используется схема, в которой напряжение, питающее разрядные резисторы, изменяется синхронно с дрейфом напряжения на ключевых диодах, что достигается введением в цепь источника питания диода D^* . Действительно, разрядный ток может быть определен как

$$I_p = \frac{E_n - (U_d + \Delta U_d)}{2^{k-1} R}, \quad (11)$$

где U_d — напряжение на диоде; ΔU_d — дрейф напряжения на диоде; E_n — напряжение питания ЦАП;

$$E_n = E_o \frac{R_3}{R_2} + (U_d + \Delta U_d). \quad (12)$$

Сравнивая (11) и (12) и полагая, что температурные характеристики диодов D^* и D одинаковы (т. е. $\Delta U_d = \Delta U_d^*$), можно убедиться, что разрядный ток не зависит от дрейфа напряжения на диоде.

Описываемая система предназначена для работы с потенциометрическими датчиками, которые питаются нестабильным напряжением батареи E_b . Полезную информацию о процессе несет отношение R_d/R_d (см. рис. 7), которое в существующей системе определяется по результату 2 измерений: сначала измеряется E_b , а затем непосредственно напряжение с датчика. Выходной результат A вычисляется на ЦВМ: $A = \frac{N_2}{N_1} \cdot 100\%$.

В схеме рис. 7 напряжение батареи E_b подается на вход операционного усилителя; инвертированный сигнал с выхода усилителя используется в качестве образцового напряжения для питания ЦАП. При этом разрядные токи ЦАП изменяются пропорционально изменению E_b (в ограниченном диапазоне колебаний E_b) и выходной код будет пропорционален отношению R_d'/R_d . При подаче на вход операционного усилителя образцового напряжения E_o система будет работать в режиме измерения напряжений.

При работе ЦАП в составе АЦП выражение для статической погрешности может быть записано так:

$$\delta I = \delta E_o + \delta R + \delta U_d, \quad (13)$$

где δE_o и δR — относительная нестабильность напряжения питания и разрядных резисторов ЦАП соответственно. Остаточная погрешность δU_d , вносимая диодными ключами, определяется в основном неидентичностью характеристик компенсирующего и ключевых диодов и зависимостью температурного коэффициента напряжения $p-n$ перехода от тока. Расчетное значение погрешности δE_o составляет $\delta E_o \approx 0,015\% / 20^\circ\text{C}$, что подтверждено экспериментальными данными.

При использовании в ЦАП быстродействующих импульсных диодов время установления напряжения на суммирующейшине ЦАП определяется в основном постоянной времени суммирующей шины ЦАП:

$$\tau_w = R_1 C_w = R_1 (C_{d\Sigma} + C_{HO} + C_m), \quad (14)$$

где $C_{d\Sigma}$ — суммарная емкость диодов, подсоединеных к суммирующей шине; C_{HO} — входная емкость нуль-органа (НО); C_m — емкость монтажа.

При $R_1=1$ ком, $C_{d\Sigma}=30$ пФ, $C_{HO}=10$ пФ и $C_m=10$ пФ $\tau_w=50$ нсек. С учетом того, что потенциал суммирующей шины изменяется на $\pm 0,3$ в, получим время установления напряжения на суммирующей шине с погрешностью 1 мв равным $6\tau_w=300$ нсек. Однако в описываемой системе быстродействие ЦАП ограничивается в основном реакцией буферного каскада на включение ступени. Время установления разработанного буферного каскада по выходу при ступени 10 ма на уровне 1 мка не превышает 0,5 мксек. Нуль-орган АЦП выполнен на микросхемах ИП1 и П2222 с выходом на логическую микросхему. Время установления НО не более 2 мксек. Таким образом, время измерения 11-разрядного АЦП составляет 25—30 мксек, а с учетом времени затухания переходных процессов на выходе коммутатора 40 мксек.

Блок индикации предназначен для вывода на табло в десятичном коде результата измерения и номера канала, в котором это измерение проведено. Он используется при контроле измерительной системы в различных режимах, наладке измерительного комплекса перед измерением и для наблюдения за ходом измеряемого процесса. Для преобразования двоичного кода номера канала и результата измерения в десятичный код используется метод одновременного пересчета числа в двоичном и двоично-десятичном счетчиках. Результат измерения индицируется в вольтах или в процентах.

Разработанная система сбора информации имеет следующие характеристики: 1) число каналов 63; 2) число разрядов АЦП 11; 3) динамический диапазон по входу от 0 до +6 в; 4) время измерения в одном канале 50 мксек; 5) значение кванта 3 мв; 6) общая погрешность измерения не более $0,05\% U_x \pm 3$ мв; 7) сопротивление датчиков до 10 ком.

Конструктивно система выполняется на платах из стеклотекстолита размерами 190×340 мм с двухсторонним печатным монтажом. Все узлы системы выполнены в основном на цифровых и линейных микросхемах.

ЛИТЕРАТУРА

1. H. Schmidt. Electronic Analog Switches.— Electronic Technology, June 1968.
2. Шипли. Полевые транзисторы.— Электроника, 1964, № 32.
3. Е. А. Дроздов и А. П. Пятибратов. Автоматическое преобразование и кодирование информации. М., «Советское радио», 1964.
4. Л. Севин. Полевые транзисторы. М., «Советское радио», 1968.

Поступила в редакцию
28 октября 1969 г.